

NITINOL을 이용한 자동식 액츄에이터의 동작성능 향상을 위한 연구

정상화(조선대 기계공학과), 김현목^{*}, 차경래, 송석,
신병수, 이경희(조선대 대학원 기계공학과)

A study on the Improvement of the Performance of Bidirectional NITINOL Actuator

S. H. Jeong(Mech. Eng. Dept., CSU), H. U. Kim^{*}, K. R. Cha, S. Song,
B. S. Shin, K. H. Lee(Mech. Eng. Dept., CSU)

ABSTRACT

In the recent years, as the research and the development of micro and precision machinery become active, the interest of micro actuators using SMA(Shape Memory Alloy) has been increased. The dynamic characteristic analysis of SMA is necessary for actuator application and many common researches report the material characteristics of SMA sufficiently. However, the research on dynamic characteristics is very deficient. In this paper, the helical spring are fabricated with NITI SMA wire of high resistivity. The force, response speed, temperature, and displacement are measured by digital force gauge, infrared thermometer, and laser displacement sensor so that the dynamic characteristics of this SMA is analyzed. Also, bidirectional actuator was fabricated and experimented for its performance.

Key Words : Shape Memory Alloy(SMA), 형상기억합금, Shape Memory Effect(SME), 형상기억효과, SMA, Dynamical Characteristics(형상기억합금의 동특성)

1. 서론

최근 전 세계적으로 사람의 생활 속에 헬스케어나 의료 등에 사용되는 다양한 우수성을 확보한 고급형 핵심 기계 기술에 관한 연구 및 개발이 활발하게 이루어지고 있다. 특히 최근에는 형상기억합금(Shape Memory Alloy : SMA)을 이용한 조조령 액츄에이터(Bistable Actuator)에 관심 관심이 증대되고 있다. 그 이유 중 하나는 형상기억합금을 이용한 구동 방식은 다른 구동 방식보다 소음 저감과 대 무해성을 가지고 있기 때문에 기존 대형기에 의한 구동보다 경량화가 간단하기 때문이다.

형상기억합금은 주로 2회 변화에 따라 그 형태의 변화로 힘을 발생하여 이 결과로 소형 저항의 액추

에이터, 조조령 앤저 밸브(Bistable valve) 및 내시경(Endoscope)의 액츄에이터 등에 적용하는 연구가 전문 분야에서 활발히 전개 중이다^{[1]-[3]}.

특히 최근에는 형상기억합금으로 많은 학자(Thin film In)를 핵심으로 하는 기계학계에서 적용하거나 MEMS(Micro Electro Mechanical Systems)에 적용하기 위한 연구가 많이 이루어지고 있다.

형상기억합금은 핵심적인 특성으로 종종화기, 위생기기, 물류 물류 분야에 활용되어 있어 학문적 층과 연구에서도 형상기억합금과 소재 및 제조의 특성을 평가하고 있으나 동작성능에 대한 연구는 매우 부족한 실정이다.

따라서 본 논문에서는 그림 1 The schematic of a NITINOL 와이어를 이용하여 구조형 스크루(Nitinol

scoring)을 계약하고 디지털 힘 측정기(Digital force gauge)와 적외선 온도계(Infrared thermometer), 그리고 레이저 벤위 센서(Laser displacement sensor)를 이용하여 이 NITINOL 스프링의 힘의 크기와 변동속도, 힘과 벤위를 측정하여 형상기억합금의 동적 특성을 분석하였다. 또한 형상기억합금을 이용하여 차동식 액축에 이너를 제작하여 그 동적 성능을 실험하였고 형상기억합금의 단점인 하스테리시스의 발생과 분모변화에 대한 방지속도자(리마)는 문제점을 해결하기 위하여 강제냉각식으로 형상기억합금의 동적 특성을 재설하고 액축에 이더로션의 가능성을 확인하였다.

2. 형상기억합금의 동특성실험

형상기억합금의 동특성 실험을 위하여 지름 1mm의 원형 선별을 찾는 NITINOL 스프링을 사용하였다. NITINOL의 경우, 8% 이내로 원형대로 회복 가능한 면밀성이가 계획되어 있으며, 형상회복과정에서 큰 외력이 가해지면 히터 벤위 범위는 더욱 줄어들게 된다. 따라서 주어진 하이어를 그대로 사용할 경우 그의 애토 면밀성을 가정할 때, 매우 위험한 결과를 초래하는 경우에 주어진 하이어를 형상기억합금에 스프링의 형상을 기억시키는 방법을 사용하였다.

본 연구에서는 선경 1mm의 형상기억합금 외이어를 지름 10mm, 폐지 3mm를 가지는 나선형 스프링의 형태로 제작하여 적은 벤위에서도 큰 동작을 얻을 수 있도록 하였다. 열처리 조건은 형상회복 과정을 최대한 억제하기는 힘들었으나 850°C에서 20분간 열처리하여 상온에서 냉각하여 형상기억합금에 스프링의 형상을 기억시키는 방법을 사용하였다.

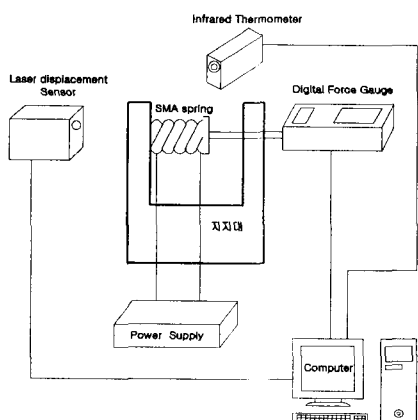


Fig. 1 Measurement of Force and Temperature

형상기억합금 스프링의 초기의 온도가 변화, 그리고 형상기억스프링의 벤위를 측정하기 위하여 디지털 힘 측정기와 적외선 온도계, 그리고 레이저 벤위 센서를 사용하였다. 디지털 힘 측정기는 RDS2 차리얼 포트를 이용하여 아날로그의 데이터를 직접 PC의 디지털 포트로 변환하였다. 적외선 온도 측정기는 아날로그 출력으로 보내거나 나오는 신호를 받아서 증폭시키고 노이즈를 줄이기 위하여 저주파 필터(low pass filter)를 통과시킨 다음 LabVIEW을 이용하여 PC에서 데이터를 처리하였다. 그리고 레이저 벤위센서는 아날로그 출력신호로부터 나오는 신호를 LabVIEW을 이용하여 처리하여 데이터를 처리하였다.

한국 표준 그리고 벤위의 동특성 측정실험 장치의 세요도는 Fig. 1에 나타내었다. 스프링과 실험된 선은 풀어둔 디지털 힘 측정기에 고정시키고 형상기억합금 스프링을 차단한 경계로하여 동작을 그린 다음 이를 카메라로 촬영하여 그에 대응하는 힘과 그 힘에 의한 벤위를 측정하고 힘 측정기를 제거한 후 형상기억합금 스프링의 벤위를 측정하였다.

형상기억합금의 특성을 이해하기 위해 방법, 그리고 설계계산을 이용하는 방법이 있다. 설계로 적합한 값을 사용하고 외력을 적용하니 그에 따른 벤위도 쉽게 구할 수가 있다. 그러나 반대로 형상기억합금의 특성을 이용해 설계하는 경우 고정시키기 위한 벤드의 위치와 접촉 부분이 외력으로 사용하는 값 세울 수 있다. 따라서 본 연구는 설계값을 이용하여 유연하게 설계하도록써 각 계적 계산이 초기 액축에 대해서는 적용되었다.

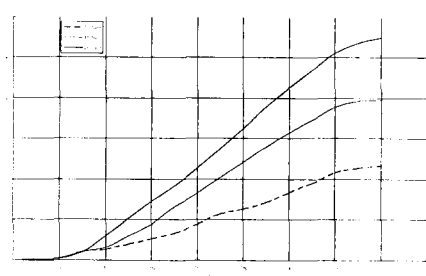


Fig. 2 Displacement of SMA

그림 2에 있는 10%의 형상기억합금 스프링을 이용하여 지름 10mm로 확장해 850°C에서 20분간 열처리한 후의 압축을 형상기억합금 스프링에 적용시킬 때

시간에 따른 형상기억합금 스포링의 변위와 변화를 나타낸 것이다.

실험로부터 형상기억합금 스포링이 액츄에이터로써 사용될 수 있음을 알 수 있다.

3. 차동식액츄에이터의 동특성실험

3.1 차동식액츄에이터의 동특성

형상기억합금을 이용하여 차동식 액츄에이터를 제작하고 구속한 상태에서 팔상력을 측정하였다.

Fig. 3과 4는 20턴의 차동식 혈상기억합금 액추에이터에 33와 30Hz의 진동률을 60초로 주기로 반복하여 차동식으로 출려준 경우의 시간에 따른 팔상력과 변위를 나타낸 것이다.

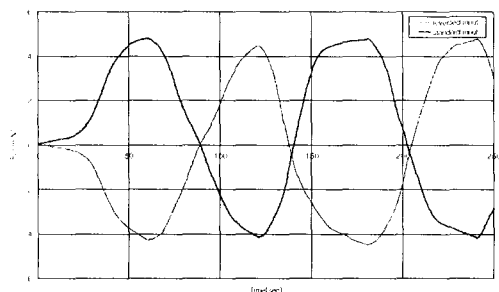


Fig. 3 Function force of 20-turn bidirectional SMA actuator

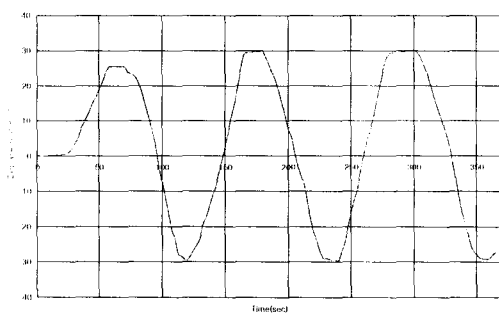


Fig. 4 Displacement of 20-turn bidirectional SMA actuator applying periodic input

차동식 액츄에이터의 동특성이 전자기 펄스에 따라 그림과 같이 변화하여 변속동작의 가능성을 실험을 통하여 확인하였다.

Fig. 5와 6은 차동식 액추에이터가 20mm와 35mm의 변위를 주기위해서 양쪽의 형상기억합금에 30Hz의 진동률과 30Hz의 진동률을 번갈아 일자형으로 해 액츄에이터의 운동을 나타낸 것이다.

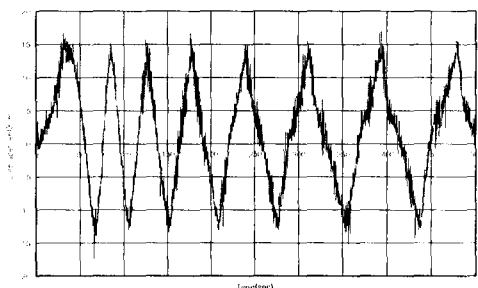


Fig. 5 Displacement of the conventional bidirectional bidirectional SMA actuator (20turn)

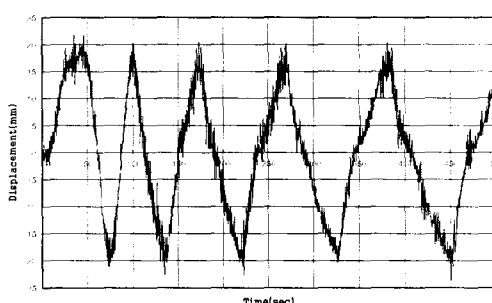


Fig. 6 Displacement of the conventional bidirectional bidirectional SMA actuator (30turn)

작동실험으로 관찰된 결과 처음에는 형상기억합금의 변동속도가 빨라지면서 시간이 지남에 따라 그림과 같은 현상을 알 수 있었다. 이는 형상기억합금의 속도가 오스미나이트 변태온도 이점으로 인해 차동식 차동식 혈상기억합금의 축단장도끼를 힘을 차면서 나타나는 현상이다. 실험시의 외부온도는 210°C였다.

3.2 차동식액츄에이터의 동작성능 개선

앞의 실험을 통해서 차동장력을 쟁을 때 원동기의 액츄에이터에 가장 큰 부하가 되는 차동기어에서의 부동속도변화를 알 수 있었다. 이를 차동장력을 개선하기 위해 차동기어의 형상기억합금 스포링과 함께 출입구에 저항환 부위를 추가하기 위한 차동기어의 형상기억합금 차동식 액츄에이터의 부동속도를 고려하였다.

Fig. 7과 8은 20mm와 35mm의 변위로 해 액츄에이터에 형상기억합금에 30Hz 진동과 30Hz 진동을 번갈아 해 액츄에이터의 운동 경과이다. 속도는 각각 20, 30Hz였다.

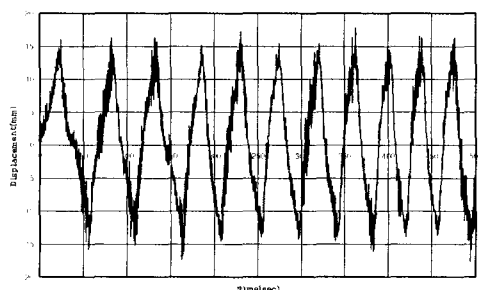


Fig. 7 Displacement of the proposed actuator system with a cooling device(26mm)

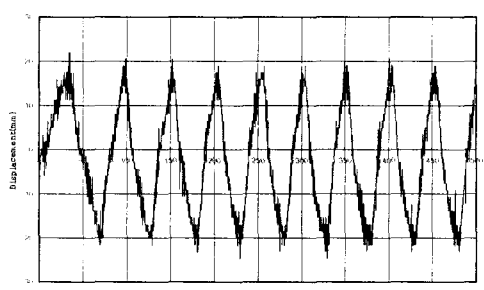


Fig. 8 Displacement of the proposed actuator system with a cooling device(30mm)

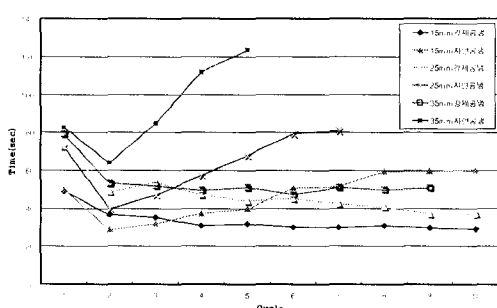


Fig. 9 Response time of SMA actuator Displacement

Fig. 9는 차동식 액추에이터의 강제증강 풍수성을 차별증강 통하여 성능의 향상을 이루하였다.

앞에述명한 차동식 액추에이터가 사이클의 차단에 따라 한 차단을 하면서 풍수성을 나타남을 알 수 있다.

4. 결론

본 연구에서는 신형 Inn은 액상기억합금의

이력을 이용하여 처음 10ms, 10ms의 형상기억합금 스파크를 제작하여 300회 완화파 30회 진동을 적용 시켰을 때 발생하는 힘과 유효 면적을 측정하였다. 또한 형상기억합금의 현상에 따른 연구에서 사용한 전통 평방법이 아니라 접착계를 이용하여 모서리 형상기억합금을 이용한 차동식 액추에이터의 부피의 감소를 실증하였다.

차동법을 이용한 액추에이터를 제작하여 동등성의 증강과 형상기억합금 스파크를 부드럽게 힘의 증가하므로 이준의 차동식 액추에이터에 대해 부드러운 동력을 전달해 하는 부분에 솔레노이드를 비롯한 다른 액추에이터를 대체할 수 있는 충분한 가능성을 개발할 수 있고 강제증강방식에 의한 실험을 통하여 반응속도와 히스테리시스가 개선됨을 알 수 있었다. 또한 본 연구에서 사용한 전통 Inn의 스파크와 아닌 신형 H, Inn의화의 형상기억합금을 이용한다면 더욱 빠른 응답속도를 가질 것이다. 따라서, 형상기억합금을 이용하여 액추에이터를 제작하면 부드러운 풍수성이 필요한 대시경이나 도중의 차로 찾으므로 풍수성이 가능할 것이다. 또한 전형적으로 동력을 전달할 수 있는 경로를 차량으로의 미리전송(로봇이나 헬기 등)의 운행방법으로 활용이 가능함을 보였다.

참고문헌

- Robert E. Watson, "Comparison of the response of Shape Memory Alloy Actuators using Air-Cooling and Water-Cooling", 1984
- T. C. Waran, "Actuator design using Shape Memory Alloys", Canada, 1962
- T. C. Waran, "Design Principle For Ni-Ti Actuators", Shape Memory and Superelastic Technologies, pp.234-244, 1997,
- S. H. Jeong, H. U. Kim, K. R. Cha, 2002, "A study on the Development of Bidirectional Actuator using NiTi Shape Memory Alloy", KAUC, pp723 ~ 726
- S. H. Kim, S. H. Lee, Y. J. Lee, 1999, "Improvement of Response Speed of Shape-Memory Alloy Actuator and Its Experimental Measurement", KAUC, pp397 ~ 400